

図 1.3.12 HM06 23: Zone 2 Upper 内の圧入終了時におけるガス濃度率(fraction)分布

図 1.3.14 HM06 23: Zone 2 Middle 内の圧入終了時における  
ガス濃度率(fraction)分布

図 1.3.13 HM06 23: Zone 2 Upper 内の圧入終了時における  
濃度  $CO_2$ (%) /  $CO_2$ (m<sup>3</sup>/rock) 分布

図 1.3.15 HM06 23: Zone 2 Middle 内の圧入終了時における  
濃度  $CO_2$ (%) /  $CO_2$ (m<sup>3</sup>/rock) 分布

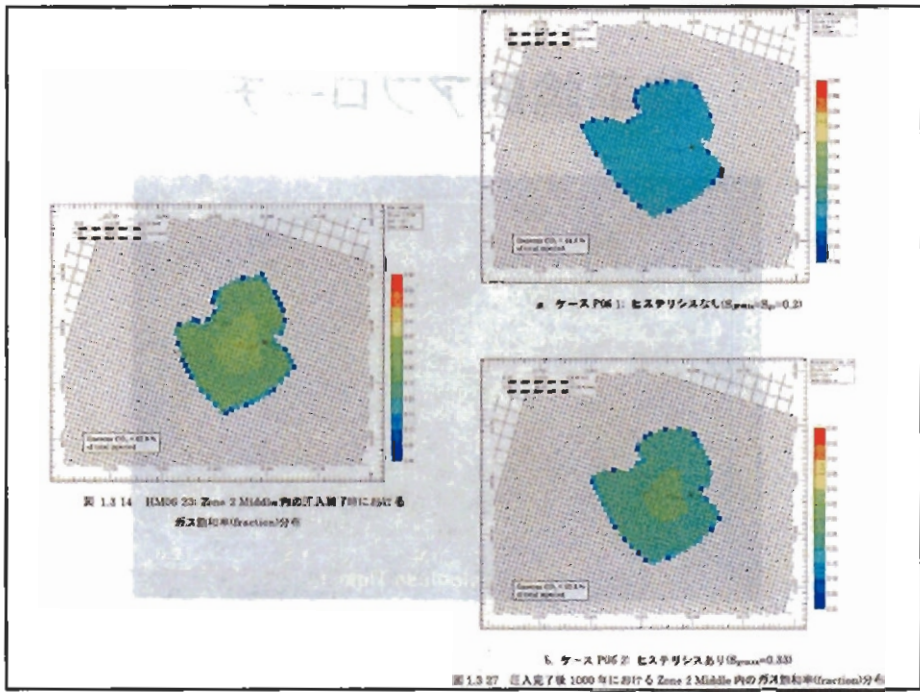


図 1.3.14 HM06 23: Zone 2 Middle 内の圧入終了時における  
ガス濃度率(fraction)分布

● ケース P06 1: ヒステリシスなし ( $S_{gmax} = S_{g0} = 0.23$ )

● ケース P06 2: ヒステリシスあり ( $S_{gmax} = 0.33$ )

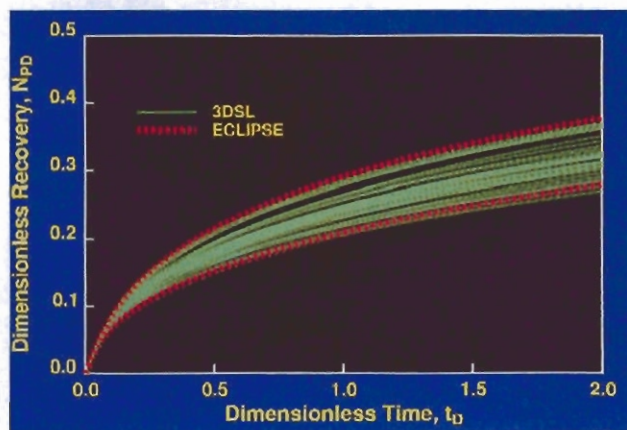
図 1.3.17 圧入完了後 1000 年における Zone 2 Middle 内のガス濃度率(fraction)分布

## CO<sub>2</sub>地中貯留シミュレーションの課題

- Reservoir Characterizationの限界
  - 解像度
  - 危険因子検知の確度
- ヒストリーマッチのための履歴不足
  - キャップロックに関するパラメータ?

32

## 確率論的アプローチ



35